

УДК 538.4

ИССЛЕДОВАНИЕ МАГНИТОГИДРОДИНАМИЧЕСКИХ ТЕЧЕНИЙ
В ПУЛЬСИРУЮЩЕМ МАГНИТНОМ ПОЛЕ МЕТОДОМ
ХАРАКТЕРИСТИК

Д. А. Бут

(Москва)

В последние годы создаются относительно крупные магнитогидродинамические (МГД) установки, в которых магнитное число Рейнольдса (R_m) конечно и магнитное поле заметно деформируется проводящими потоками. При исследовании устройств с $R_m \sim 1$ возникают задачи о переходных процессах в МГД потоках, помещенных в пульсирующее магнитное поле и характеризуемых существенным МГД взаимодействием. Для их решения представляется естественным развитие метода характеристик.

В общем случае метод характеристик неприменим для анализа нестационарных МГД течений с конечными R_m , так как исходная система уравнений не является гиперболической. Однако, если ввести некоторые допустимые в ряде случаев ограничения, можно построить модели квазидномерных нестационарных МГД течений с гиперболическими квазилинейными исходными системами уравнений первого порядка, для которых удается сформулировать данные Коши на граничной кривой пространственного или характеристического типа [1].

Ниже решаются два типа задач подобного рода для проводящих потоков в пульсирующем поперечном магнитном поле. Первый тип охватывает сверхзвуковые течения газа в каналах, второй относится к движению свободных струй несжимаемой жидкости. Параметр МГД взаимодействия и величина R_m предполагаются существенными. При определенных ограничениях на геометрию моделей и при условии потенциального характера электрического поля в каналах задачи сводятся к задаче Гурса, которая для каждого случая решается на ЭЦВМ методом конечных разностей вдоль характеристических интервалов.

1. Течение проводящего газа в узком прямоугольном канале. Идеальный совершенный газ, обладающий конечной проводимостью σ , движется со сверхзвуковой скоростью u ($u, 0, 0$) в поперечном магнитном поле B ($0, B, 0$) по каналу с изоляционными стенками $y = \pm y_0/2 = \text{const}$ и идеально секционированными электродными стенками $z = \pm z_0/2 = \text{const}$. Единичной площади электродных стенок соответствует замкнутая внешняя цепь с активным сопротивлением R и индуктивностью L , расположенная за выходом из канала. Благодаря эффекту Фарадея в канале течет электрический ток плотностью j ($0, 0, j$). Все токоотводы ориентированы по положительному направлению x , а к стенкам $\pm y_0/2$ снаружи примыкает магнитопровод с высокой магнитной проницаемостью, замыкающийся между входной ($x = 0$) и выходной ($x = l$) плоскостями канала. При такой геометрии токоотводов и магнитопровода каждый элементарный ток в точке x' наводит собственное магнитное поле только в области $x > x'$ [2], и, таким образом, возмущения магнитной индукции не распространяются вверх по потоку. Подобные условия с некоторым приближением выполняются и для узких каналов без стали, если токоотводы направлены по скорости потока, и протекающий в них ток дает основной вклад в индуцированное магнитное поле.

Концевые эффекты предполагаются подавленными, например, за счет установки продольных изоляционных перегородок на входе и выходе канала. Величины R , L , σ являются произвольными гладкими функциями $R(x, t)$, $L(x, t)$, $\sigma(x, t)$ соответственно. Внешнее магнитное поле не зависит

от x и меняется во времени как $B_e = B_m \sin \omega t$. Электроды на входе разомкнуты — $R(0, t) \rightarrow \infty$, так что $j(0, t) \equiv 0$, и параметры на входе остаются невозмущенными. Предполагается, что основной вклад в электрическое поле $E(0, 0, -E)$ создается падением напряжения на R и L , а вихревое электрическое поле за счет $\partial B / \partial t$ мало. Порядок максимальной амплитуды вихревой составляющей E на периферии канала равен $\omega B_m z_0 / 2(1 + z_0 / l)$. Если принять uB_m за характерную амплитуду потенциального электрического поля, то пренебрежение вихревыми токами в канале будет оправдано при $\omega z_0 / 2u(1 + z_0 / l) \ll 1$ и достаточно больших L .

Исходными уравнениями задачи будут уравнения неразрывности, движения, энергии, состояния, первое уравнение Максвелла и закон Кирхгофа для цепи электродов единичной площади

$$\begin{aligned} \frac{\partial \rho}{\partial t} - \frac{\partial}{\partial x}(pu) &= 0, \quad \rho \left(\frac{\partial u}{\partial t} + u \frac{\partial u}{\partial x} \right) + \frac{\partial p}{\partial x} = -jB \\ \rho \left(\frac{\partial e}{\partial t} + u \frac{\partial e}{\partial x} \right) + p \frac{\partial u}{\partial x} &= \frac{j^2}{\sigma} \\ \frac{p}{\rho T} &= \text{const}, \quad \frac{\partial B}{\partial x} = \mu_0 j, \quad L \frac{\partial j}{\partial t} + j \left(R + \frac{z_0}{\sigma} \right) = uB \end{aligned}$$

Здесь e — внутренняя энергия газа, T — температура; остальные обозначения общепринятые.

Перейдем к безразмерным величинам, относя p, ρ, u, σ к их значениям на входе $p_0, \rho_0, u_0, \sigma_0$, магнитную индукцию к B_m , плотность тока к $\sigma_0 u_0 B_m$, L к $\mu_0 z_0 l^2$, R к z_0 / σ_0 , x к l , t к l / u_0 .

Введем также критерии подобия: магнитное число Рейнольдса $R_m = \mu_0 \sigma_0 u_0 l$, параметр магнитогидродинамического взаимодействия $S = \sigma_0 B_m^2 l / \rho_0 u_0$, число Маха $M = u / \sqrt{\gamma p / \rho}$, где γ — показатель адиабаты, число Эйлера $E = p_0 / \rho_0 u_0^2$. Тогда получим систему пяти уравнений относительно неизвестных u, p, ρ, j, B

$$\frac{\partial \rho}{\partial t} + \rho \frac{\partial u}{\partial x} + u \frac{\partial \rho}{\partial x} = 0 \quad (1.1)$$

$$\rho \frac{\partial u}{\partial t} + \rho u \frac{\partial u}{\partial x} + E \frac{\partial p}{\partial x} = -SjB \quad (1.2)$$

$$\frac{\partial p}{\partial t} + u \frac{\partial p}{\partial x} - \frac{p}{\rho} \left(\frac{\partial \rho}{\partial t} + u \frac{\partial \rho}{\partial x} \right) + (\gamma - 1) p \frac{\partial u}{\partial x} = \frac{S}{E} (\gamma - 1) \frac{j^2}{\sigma} \quad (1.3)$$

$$\frac{\partial B}{\partial x} = R_m j \quad (1.4)$$

$$R_m L \frac{\partial j}{\partial t} + (R + \sigma^{-1}) j = uB \quad (1.5)$$

Дополним эту систему уравнениями для полных дифференциалов неизвестных

$$du = \frac{\partial u}{\partial t} dt + \frac{\partial u}{\partial x} dx, \quad dp = \frac{\partial p}{\partial t} dt + \frac{\partial p}{\partial x} dx$$

и т. д.

Следуя методу, изложенному в [3], выразим каждую производную $du / \partial t, du / \partial x, dp / \partial t, dp / \partial x, \dots$ и т. д. через коэффициенты и свободные члены полученной системы десяти уравнений по правилу Крамера, а затем привариваем нуль одновременно числитель и знаменатель каждой производной. Тогда корни знаменателя дадут характеристические направления dx / dt , а корни числителя — условия совместности на характеристиках. Таким образом приходим к характеристической нормальной форме [1] исходной системы, которая эквивалентна пяти обыкновенным

дифференциальным уравнениям, действующим вдоль характеристик

$$E \frac{dp}{dt} + A\rho \frac{du}{dt} = Sj \left[(\gamma - 1) \frac{j}{\sigma} - AB \right] \quad \text{вдоль } \left(\frac{dx}{dt} \right)_I = u + A \quad (1.6)$$

$$E \frac{dp}{dt} - A\rho \frac{du}{dt} = Sj \left[(\gamma - 1) \frac{j}{\sigma} + AB \right] \quad \text{вдоль } \left(\frac{dx}{dt} \right)_{II} = u - A \quad (1.7)$$

$$E \frac{dp}{dt} - A^2 \frac{d\rho}{dt} = (\gamma - 1) S \frac{j^2}{\sigma} \quad \text{вдоль } \left(\frac{dx}{dt} \right)_{III} = u \quad (1.8)$$

$$\frac{dB}{dx} = R_m j \quad \text{вдоль } \left(\frac{dx}{dt} \right)_{IV} = \infty \quad (1.9)$$

$$R_m L \frac{dj}{dt} = uB - j(R + \sigma^{-1}) \quad \text{вдоль } \left(\frac{dx}{dt} \right)_{V} = 0 \quad \left(A = \frac{u}{M} \right) \quad (1.10)$$

Все характеристические направления dx / dt в рассматриваемой задаче действительные, и, следовательно, исходная система (1.1) — (1.5) гиперболическая. Этот вывод естествен с физической точки зрения, так как в построенной модели все возмущения распространяются только вниз по потоку.

Характеристическая система (1.6) — (1.10) может быть получена также с помощью собственных значений и левых собственных векторов матрицы исходной системы (1.1) — (1.5), если предварительно перейти к новым переменным $\eta = t + x$, $\tau = t - x$.

Будем считать, что при $t < 0$ течение в канале было установившимся и $B_e = 0$, а в момент $t = 0$ B_e начинает изменяться как $\sin \omega t$. Тогда можно сформулировать начальные условия задачи на граничной кривой в xt -плоскости, состоящей из положительных полуосей x и t . Действительно, при $t = 0$ МГД взаимодействия нет, и все параметры вдоль x известны из предшествующего стационарного режима. Далее, при $x = 0$ имеем $j \equiv 0$, и параметры на входе остаются неизменными, так как по условию все возмущения не распространяются вверх по потоку.

Поскольку все характеристики имеют неотрицательный наклон dt / dx , выбранная граничная кривая позволяет построить однозначное решение задачи в области влияния (полуполосе $0 \leq x \leq 1$, $0 \leq t < \infty$) при условии гладкости коэффициентов исходной системы [1].

Ввиду того что оси x и t являются характеристиками, приходим, таким образом, к задаче Гурса. Ее особенность заключается в том, что начальные данные не могут задаваться произвольно на граничной кривой, а должны удовлетворять соответствующим характеристическим уравнениям, в данном случае — уравнениям (1.9) и (1.10), а также условиям согласования в точке $(0, 0)$. Легко видеть, что эти ограничения выполняются. Уравнение (1.9) удовлетворяется тождественно, а уравнение (1.10) требует, чтобы

$$uB|_{x=0} = j(R + \sigma^{-1})|_{x=0} = \sin \omega t$$

$$\begin{matrix} R \rightarrow \infty \\ j \rightarrow 0 \end{matrix}$$

т. е. индуцируемая э.д.с. при холостом ходе уравновешивается падением напряжения от нулевого тока на бесконечном внешнем сопротивлении, что физически очевидно.

Следует отметить, что введенное ограничение $R(0, t) \rightarrow \infty$ не сильное, так как при произвольном непрерывном распределении $R(x, t)$ можно сместить расчетное начало оси x несколько вверх по потоку, где электродов и тока нет, и аппроксимировать $R(x, t)$ с нужной особенностью в рамках одномерного приближения.

При расчетах принимались следующие начальные условия:

$$u(0, t) = u(x, 0) = p(0, t) = p(x, 0) = \rho(0, t) = \rho(x, 0) = 1$$

$$B(0, t) = \sin 2\pi t, B(x, 0) = j(0, t) = j(x, 0) = 0$$

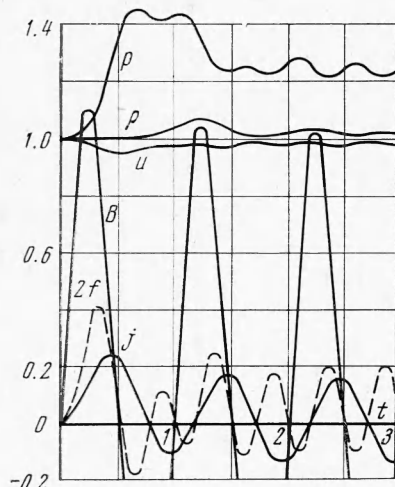
Система (1.6) — (1.10) решалась на ЭЦВМ методом конечных разностей вдоль характеристических интервалов [4]. Использовалась базисная сетка, образованная характеристиками IV и V, с размерами ячейки $\Delta x = \Delta t = 10^{-2}$ и $\Delta x = \Delta t = 10^{-3}$.

Остальные характеристики проводились через точку с неизвестными параметрами путем линейного интерполирования данных на предыдущем шаге. Дробление сетки приводило лишь к незначительной корректировке результатов в пределах 5%. Конечные результаты проверялись выборочно непосредственной подстановкой в исходную систему (1.1) — (1.5), записанную в форме конечных разностей на интервалах $\Delta x = \Delta t = 0.05$. Погрешность составляла $\sim 3\%$ наибольших по модулю членов уравнений вплоть до $t \approx 3$.

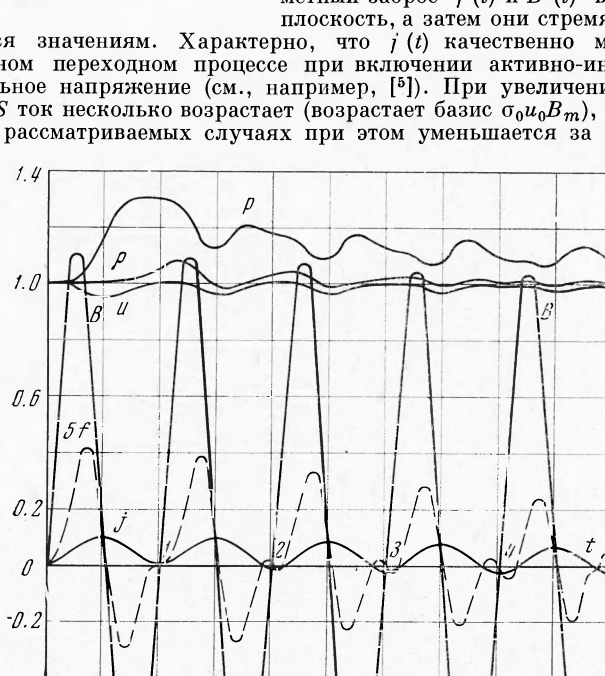
На фиг. 1 приведено распределение параметров по t для $x = 0.89$ при $\sigma = 1$, $L = R = x^{-1/6}$, $M_0 = 5$, $E = 0.024$, $R_m = S = 1$, а на фиг. 2 — при тех же условиях, но $R_m = S = 3$. Помимо основных параметров там же построена кривая электромагнитной силы $f = jB$ ($f > 0$ условно соответствует тормозящей, а $f < 0$ — ускоряющей силе).

Видно, что при включении внешнего синусоидального поля вначале происходит заметный заброс $j(t)$ и $B(t)$ в верхнюю полуплоскость, а затем они стремятся к некоторым

установившимся значениям. Характерно, что $j(t)$ качественно меняется так же, как и в обычном переходном процессе при включении активно-индуктивной цепи на синусоидальное напряжение (см., например, [5]). При увеличении R_m и S ток несколько возрастает (возрастает базис $\sigma_0 u_0 B_m$), однако осредненная сила f в рассматриваемых случаях при этом уменьшается за счет больших по



Фиг. 1

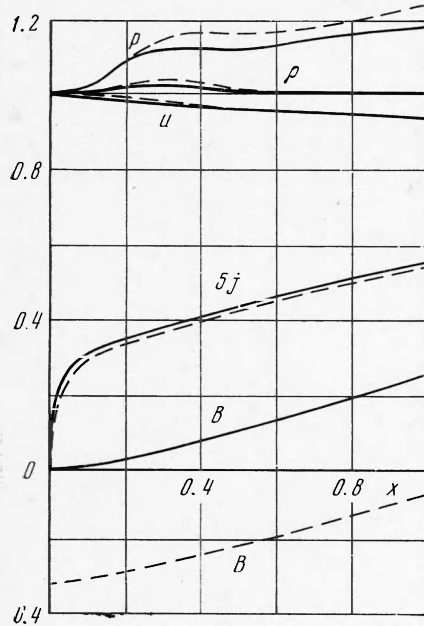


Фиг. 2

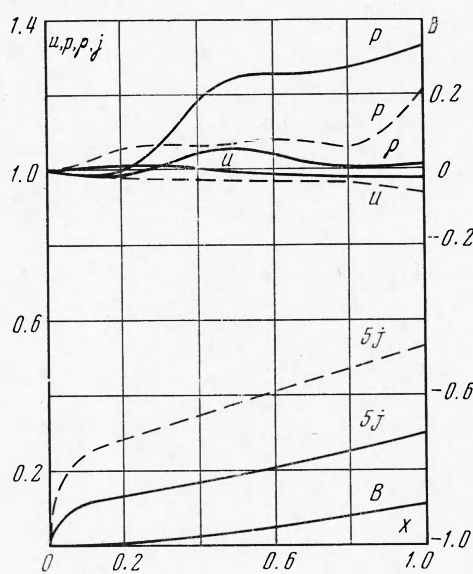
модулю отрицательных мгновенных значений $f(t)$, связанных с более индуктивным характером цепей. Этим можно объяснить меньший первичный всплеск $p(t)$ при больших R_m и S . Как следует из фиг. 1 и фиг. 2, увеличение R_m и S также затягивает переходный процесс, поскольку постоянная времени цепей возрастает. Смещение кривой $B(t)$ вверх по сравнению с $B_e(t) = \sin 2\pi t$ объясняется влиянием индуцированного магнитного поля.

Можно предполагать, что при малых L и существенных S достаточно резкие всплески давления на фиг. 1,2 приведут к разрывным решениям, не охватываемым проведенным анализом.

Колебания температуры газа определяются отношением p/ρ . На фиг. 3,4 приведены кривые распределения параметров по x для $R_m = S = 3$ и различных моментов времени (на фиг. 3 сплошные кривые для $t = 0.5$, пунктирные — для $t = 0.55$, на фиг. 4 сплошные кривые для $t = 0.75$, пунктируемые — для $t = 1.5$). Плотность тока и индукция возрастают по x , а кривые $p(x)$ и $\rho(x)$ вместе с кривыми $p(t)$ и $\rho(t)$ на фиг. 1,2 подтверждают вывод об образовании волн сжатия в канале.



Фиг. 3



Фиг. 4

2. Движение свободной струи несжимаемой невязкой проводящей жидкости. Струя движется со скоростью $u(0, 0, 0)$ и касается узкими сторонами секционированных по x электродов $z = \pm z_0/2 = \text{const}$, каждая пара которых подключена к внешней цепи с активным сопротивлением R' и индуктивностью L' . В области $y > y_0/2$, $y < -y_0/2$, находится стальной магнитопровод ($\mu \rightarrow \infty$), с помощью которого создается магнитное поле $B(0, B, 0)$. Геометрия магнитопровода и токоотводов такая же, как в предыдущей задаче. Струя движется в узком зазоре y_0 между стальными стенками, не касаясь их, т. е. $\delta < y_0$, где δ — толщина струи по y . В струе течет ток $j(0, 0, j)$ и создается электрическое поле $E(0, 0, -E)$ благодаря падению напряжения во внешних цепях, которое много больше поля из-за электромагнитной индукции в канале. Концевые эффекты устранены продольными перегородками или продлением магнитного поля за пределы канала. Функции $R'(x, t)$, $L'(x)$ — заданные гладкие функции при $x \geq 0$, $t \geq 0$; $R'(0, t) \rightarrow \infty$. Внешнее магнитное поле B_e меняется во времени как $B_m \sin \omega t$. Гравитационные и объемные динамические силы действуют по оси x и их ускорение $q(t)$ задано. Проводимость струи $\sigma = \text{const}$.

Динамика переходного процесса для электромагнитных параметров в одномерном приближении характеризуется уравнением Кирхгофа для цепи одной электродной пары

$$uBz_0 = I \left(\frac{z_0}{\sigma \Delta x \delta} + R' \right) + L' \frac{\partial I}{\partial t}$$

где Δx — продольный размер электрода, $I = j\delta \Delta x$ — ток электродной пары.

С учетом уравнения неразрывности $u\delta \equiv \text{const}$ имеем

$$uBz_0 = j \left(\frac{z_0}{\delta} + R' \Delta x \delta \right) + L' \Delta x \delta \left(\frac{\partial j}{\partial t} - \frac{j}{u} \frac{\partial u}{\partial t} \right) \quad (2.1)$$

Уравнение движения струи записывается в виде

$$\frac{\partial u}{\partial t} + u \frac{\partial u}{\partial x} = - \frac{iB}{\rho} + q$$

Третьим исходным уравнением будет уравнение Максвелла

$$\frac{\partial B}{\partial x} = \mu_0 j \quad (2.2)$$

Запись последнего соотношения зависит от способа осреднения B по попеченному сечению. Форма (2.2) соответствует осреднению B по сечению собственно струи. Если же осреднить B по всему зазору y_0 , то следует писать

$$\frac{\partial B}{\partial x} = \mu_0 \frac{\delta}{y_0} j \quad (2.3)$$

В дальнейшем используется форма (2.2), хотя для применяемого метода введение (2.3) вместо (2.2) не усложняет задачи.

Будем в дальнейшем относить x к длине канала l , t к l/u_0 , B к B_m , j к $\sigma u_0 B_m$, R' к $z_0/\sigma \Delta x \delta_0$, L' к $\mu_0 z_0 l^2 / \Delta x \delta_0$, q к u_0^2/l и введем параметры

$$R_m = \mu_0 \sigma u_0 l, S = \frac{\sigma B_m^2 l}{\rho u_0}$$

где ρ — плотность жидкости, u_0 и δ_0 — скорость и толщина струи на входе.

Тогда исходная система примет вид

$$\frac{\partial u}{\partial t} + u \frac{\partial u}{\partial x} = - S j B + q \quad (2.4)$$

$$\frac{\partial j}{\partial t} + j \frac{\partial u}{\partial x} = \frac{1}{L' R_m} [u^2 B - j(u + R')] - \frac{S j^2 B}{u} + \frac{q j}{u} \quad (2.5)$$

$$\frac{\partial B}{\partial x} = R_m j \quad (2.6)$$

Если использовать уравнение (2.3) вместо (2.2), то последнее уравнение запишется так:

$$\frac{\partial B}{\partial x} = R_m' - \frac{j}{u} \quad R_m' = R_m \frac{\delta_0}{y_0}$$

Система (2.4) — (2.6), как и в предыдущей задаче, приводится к нормальной характеристической форме

$$\frac{du}{dt} = q - S j B \quad \text{вдоль } \left(\frac{dx}{dt} \right)_I = u \quad (2.7)$$

$$\frac{dj}{dt} - \frac{j}{u} \frac{du}{dt} = \frac{1}{R_m L'} [u^2 B - j(u + R')] \quad \text{вдоль } \left(\frac{dx}{dt} \right)_{II} = 0 \quad (2.8)$$

$$dB/dx = R_m j \quad \text{вдоль } (dx/dt)_{III} = \infty \quad (2.9)$$

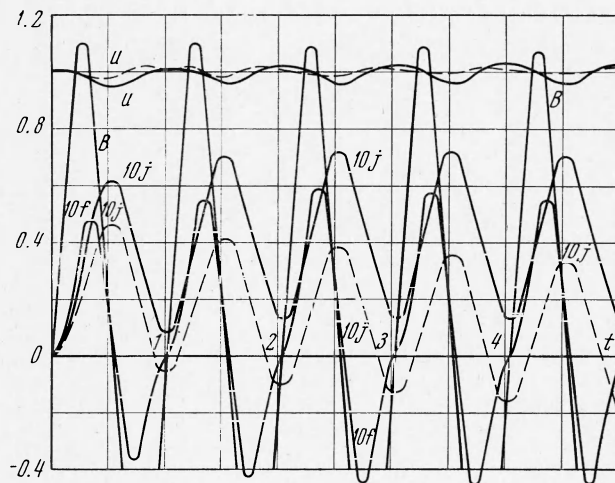
Если $B_e \equiv 0$ при $t < 0$ и $B_e = \sin \omega t$ при $t \geq 0$, то, как и раньше, начальные условия могут быть заданы на положительных полуосах x и t , которые являются характеристиками II и III, и задача сводится к задаче Гурса.

Принимаем

$$\begin{aligned} u(0, t) &= u(x, 0) = 1, & j(0, t) &= j(x, 0) = 0 \\ B(x, 0) &= B_e(0) = 0, & B(0, t) &= B_e = \sin 2\pi t \end{aligned} \quad (2.10)$$

Условия (2.10) удовлетворяют соответствующим дополнительным ограничениям характеристической задачи и согласуются в точке $(0,0)$.

Для решения нормальной формы (2.7) — (2.9) с начальными условиями (2.10) применялся тот же метод, что и в первой задаче. Использовалась сетка в xt -плоскости с размерами ячеек $\Delta x = \Delta t = 10^{-2}$ (интервалы вдоль II и III характеристик). Принималось $q = 0$, $R_m = S = 5$, $R' = L' = x^{-1/6}$. Выборочная подстановка результатов для $t \gtrsim 2$ в исходную систему (2.4) — (2.6) давала погрешность $\leq 3\%$ наибольших по модулю членов.



Фиг. 5

На фиг. 5 показано изменение параметров по t для $x = 0.89$ (сплошные линии) и $x = 0.29$ (пунктирные линии) при $R_m = S = 5$. Как и в первой задаче, скорость с некоторым запаздыванием «следит» за колебаниями электромагнитной силы $f = jB$, причем наблюдается более заметное ускорение жидкости силой f , направленной вниз по потоку. Колебания u приводят к обратному изменению B и, соответственно, внутреннего сопротивления между каждой парой электродов, что существенно сказывается на переходном процессе для электромагнитных параметров. Этим, в частности, можно объяснить и характер кривой $j(t)$ для $x = 0.89$, у которой среднее значение сначала возрастает до $t \approx 3$ и лишь затем начинает стремиться к оси t . В начальной части струи ($x = 0.29$) колебания u значительно слабее, и характер $j(t)$ такой же, как и в известных переходных процессах при включении индуктивностей на переменное напряжение [5] (см. пунктирные кривые на фиг. 5).

Отметим, что в обеих задачах рассмотренный метод допускает включение при $t = 0$ магнитной индукции с произвольной начальной фазой, т. е. $B_e = \sin(\omega t + \phi_0)$. Действительно, $j(x, 0)$ не может измениться скачком из-за индуктивностей в цепях, и начальные условия на полуоси $x > 0$ определяются предшествующим стационарным режимом при условии, что роль двумерных вихревых токов при включении поля с $\phi_0 \neq 0$ незначительна.

Проведенный анализ охватывает также случай для обоих типов течений, постоянно помещенные в пульсирующее магнитное поле, когда при $t < 0$ электроды были разомкнуты и $j(x, t) \equiv 0$ во всем канале, а при $t \geq 0$ происходило замыкание внешних цепей с произвольно меняющимися параметрами.

Поступила 6 V 1970

ЛИТЕРАТУРА

- Курант Р. Уравнения с частными производными. М., «Мир», 1964.
- Шерклиф Дж. Курс магнитной гидродинамики. М., «Мир», 1967.
- Sharpe A. H. The Dynamics and thermodynamics of compressible fluid flow, vol. 1—2. Ronald Press Co., N. Y., 1953—1954.
- Михлин С. Г., Смолицкий Х. Л. Приближенные методы решения дифференциальных и интегральных уравнений. М., «Наука», 1965.
- Круг К. А., Даревский А. И., Зевеке Г. В., Ионкин П. А., Ломоносов В. Ю., Нетушил А. В., Страхов С. В. Основы электротехники. М., Госэнергоиздат, 1952.